

сообщения
объединенного
института
ядерных
исследований
дубна

Б 24

P1-88-516 *e*

Л.С.Барабаш, С.А.Баранов, Н.В.Горбунов,
О.Ю.Денисов, И.М.Иванченко, М.Ю.Казаринов,
А.Г.Карев, Н.Н.Карпенко, Е.А.Лодыгин,
Л.Месарош, П.В.Мойсенз, В.П.Обудовский,
А.А.Попов, С.Н.Прахов, В.В.Чалышев

ХАРАКТЕРИСТИКИ ДРЕЙФОВЫХ КАМЕР
МЮОННОГО СПЕКТРОМЕТРА
УСТАНОВКИ "НЕЙТРИННЫЙ ДЕТЕКТОР"

1988

Люминесцентный спектрометр установки "Нейтринный детектор" содержит пять дисков намагниченного железа диаметром 4 м, толщиной по пучку 220 мм и четыре сдвоенных диска диаметром 4 м, толщиной 2x220 мм. В зазорах между дисковыми магнитами расположены девять координатных плоскостей, измеряющих координату X и десять плоскостей - для измерения координаты Y . Размер чувствительной области каждой координатной плоскости 4×4 м 2 , каждая плоскость содержит две больших дрейфовых камеры.

Камера имеет восемь дрейфовых ячеек (см. рис. I). В центре каждой ячейки расположен сигнальный элемент, содержащий четыре чувствительные проволоки диаметром 0,05 мм и две охранные диаметром 0,2 мм, на которые подается положительный потенциал. Проволоки с положительным потенциалом окружены заземленными катодными проволоками диаметром 0,2 мм. Дрейфовые промежутки ограничены проволоками, на которые с помощью внешнего цепителя подается распределенный отрицательный потенциал. Длина дрейфа электронов в ячейке составляет $\pm 122,5$ см относительно центра сигнального элемента.

Сигнальные проволоки (S_1, S_2, S_3, S_4) соединены со входами усилителей-формирователей, расположенных на камере. Сигналы с выходов усилителей-формирователей по телефонному кабелю подаются на входы электроники регистрации информации.

Для наполнения камер в установке "Нейтринный детектор" используется газовая смесь аргона и углекислоты (94:6 соответственно), которая продувается через камеры. Но продуву все камеры объединены в ветви, каждая ветвь содержит две камеры,

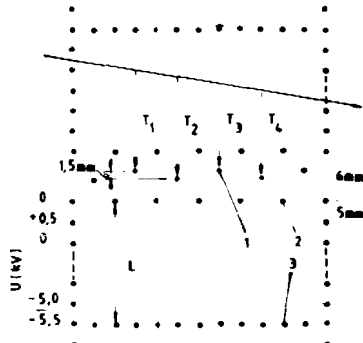


Рис. 1. Схема размещения проволок в дрейфовой ячейке.
1 - сигнальные проволоки,
2 - катодные проводки,

3 - проволоки распределенного потенциала.

выставляются на ~ 1 кВ ниже рабочего напряжения. За 1 с до импульса сброса пучка на мишень нейтринного канала напряжения повышаются до 2 кВ на сигнальных и - 6 кВ на потенциальных проводках, что соответствует рабочему режиму. Далее, после окончания импульса сброса пучка напряжения U_s и U_p снижаются на 1 кВ до следующего цикла ускорителя. Такой режим работы камер опробован на четырехкомпонентной газовой смеси ($A_{\gamma} + 7\% CO_2 + 5\% CH_4 + 0.5\% C_2H_5OH$) при испытаниях дрейфовых камер^{5/} и показал высокую эффективность. На рис. 3 мы приводим сравнительные характеристики двух камер (1 и 2) при постоянном и импульсном режиме работы. Эффективность регистрации треков (левая шкала, кривые 1 и 2) не зависит от режима питания. Существенное отличие наблюдается в зависимости шумовых характеристик камер (правая шкала) от сигнального напряжения (пунктир 1 и 2 - постоянное питание, сплошные кривые 1 и 2 - импульсное питание).

Как видно из рисунка, импульсный режим дает заметный шаг в ширине плюто по эффективности регистрации треков частотой 100 Гц для камер, характеристики которых приведены на рис. 3, ширины

включенные последовательно. Для приготовления газовой смеси используется автоматизированная система газообеспечения^{7/3/}, скорость продувки составляет 40 л/ч на ветвь (объем одной камеры 560 л).

Характеристики камер исследовались при двух режимах работы системы высоковольтного питания: обычно применяемый режим, когда на электроды камеры подаются постоянные сигнальное и потенциальное напряжения, и квазимпульсный режим, предложенный в работе^{4/}. На рис. 2 показаны временные диаграммы напряжений на электродах камер в импульсном режиме. Между циклами ускорителя напряжение на сигнальных проводках (+ U_s) и потенциальных проводках (- U_p)

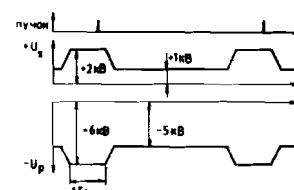


Рис. 2. Временные диаграммы работы системы высоковольтного питания дрейфовых камер.

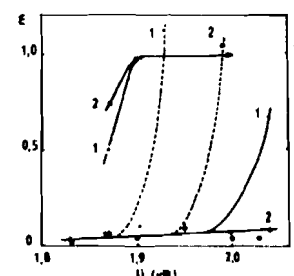


Рис. 3. Характеристики двух камер при постоянном и импульсном питании: 1,2 (левая шкала) - эффективность регистрации треков в зависимости от напряжения на сигнальных проводках; 1,2 (пунктир, правая шкала) - частота шумов, постоянное питание; 1,2 (сплошные линии) - частота шумов, импульсное питание.

плато увеличивается примерно на 100 В. Кроме того, применение импульсного режима значительно повышает надежность работы камер во время соансов. В дальнейшем мы приводим характеристики камер, полученные при импульсном режиме и пороге срабатывания электроники регистрации, равном 1 мэВ.

Каждый сигнальный элемент отдельной дрейфовой ячейки содержит четыре сигнальных проводки (S_1, S_2, S_3, S_4), что позволяет измерять четыре точки на треке частицы, прошедшей через камеру. Эффективность регистрации треков в этом случае оценивается по формуле:

$$\begin{aligned} \mathcal{E} = & \mathcal{E}_1 \mathcal{E}_2 \mathcal{E}_3 \mathcal{E}_4 + \mathcal{E}_1 \mathcal{E}_2 \mathcal{E}_3 (1 - \mathcal{E}_4) + \mathcal{E}_1 \mathcal{E}_2 \mathcal{E}_4 (1 - \mathcal{E}_3) + \\ & + \mathcal{E}_1 \mathcal{E}_3 (1 - \mathcal{E}_2) + \mathcal{E}_2 \mathcal{E}_3 \mathcal{E}_4 (1 - \mathcal{E}_1), \end{aligned}$$

где $\mathcal{E}_1, \mathcal{E}_2, \mathcal{E}_3, \mathcal{E}_4$ - эффективности регистрации координат трека отдельными проводками сигнального элемента.

На рис. 4 (семейство кривых 1, левая шкала) показана зависимость эффективности регистрации треков камерами мюонного спектрометра при изменении напряжения U_s на сигнальных проводках. Виден

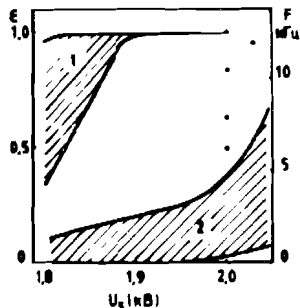


Рис. 4. Зависимости эффективности регистрации треков (1) и частоты шумов (2) в камерах мюонного спектрометра.

разброс в характеристиках камер, начало суммарного плато по эффективности регистрации треков соответствует напряжению на сигнальных проволоках, равному 1,9 кВ.

Семейство 2 (правая шкала) показывает зависимость частоты шумовых импульсов для разных камер при изменении сигнального напряжения. Повышение шумов наблюдается при напряжении $U_s > 2$ кВ. Точками показаны значения частоты шумов для пяти камер, превышающие огибающую. Суммарная ширина плато по эффективности регистрации треков по камерам мюонного спектрометра составляет $\Delta U \sim 100$ В.

Для разрешения лево-правой неоднозначности проволоки каждого сигнального элемента попарно смещены относительно центра дрейфовых ячеек на величину $\delta = \pm 0,75$ мм. При этом эффективность разделения левых и правых треков можно оценить по распределению величины K_1 , равной^[6]:

$$K_1 = \frac{1}{2} (T_1 - 3T_2 + 3T_3 - T_4) = \pm 4\Delta T,$$

где T_1, T_2, T_3, T_4 – времена, зарегистрированные отдельными проволоками сигнальных элементов; ΔT – временной одвиг сигналов, определяемый одвигом сигнальных проволок относительно центра симметрии дрейфовой ячейки.

На рис. 5 показано распределение величины K_1 для сигнальных элементов дрейфовых камер мюонного спектрометра, проинтегрированное по дрейфовому промежутку.

Рис. 6 показывает изменение среднего значения коэффициента K_1 в зависимости от координаты трека в дрейфовой ячейке. Изменение зависимости $K_1 f(x)$ показывает, что вероятность ошибки в определении левых и правых треков соответствует нескольким процентам.

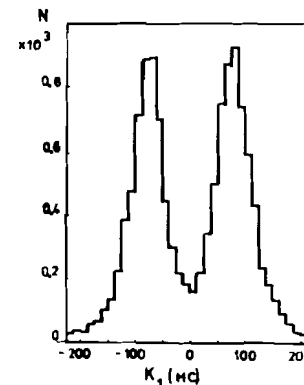


Рис. 5. Распределение коэффициента K_1 .

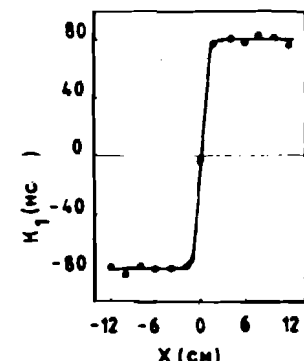


Рис. 6. Зависимость среднего значения коэффициента K_1 от координаты трека в дрейфовом промежутке.

Смещение сигнальных проволок относительно центра симметрии дрейфовых ячеек позволяет эффективно разрешить лево-правую неоднозначность, но в то же время приводит к различию амплитуд сигналов с проволок при регистрации левых и правых треков.

На рис. 7 показаны средние значения распределений зарядов, регистрируемых проволоками при прохождении трека справа от сигнального элемента (сплошные линии) и слева от него (пунктирные линии).

Эти зависимости сняты при регистрации треков электронов от радиоактивного источника ^{106}Ru , пучок от которого проходил на расстоянии ± 60 мм от сигнального элемента дрейфовой ячейки. Результаты этих измерений хорошо согласуются с результатами моделирования полей в дрейфовой ячейке, показанными на рис. 8а.

Различие в амплитуде сигналов с проволок объясняется различной шириной зон собирации электронов (рис. 8а, пунктирные линии, сх.1). Цифрами 1, 2, 3, 4 показаны зоны собирации электронов на проволоках S_1, S_2, S_3, S_4 . Улучшение однородности зон удается добиться подачей положительного потенциала (+0,1 кВ) на проволоки распределенного потенциала S_C , близкошагие к катодам. Результаты моделирования ширин зон для этого случая показаны на рис. 8б (сплошные линии, сх.2). Полное выражение ширины зон

Рис. 7. Средние значения заряда, регистрируемого сигнальными проволоками при левом и правом расположении трека.

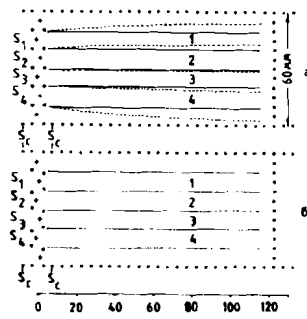
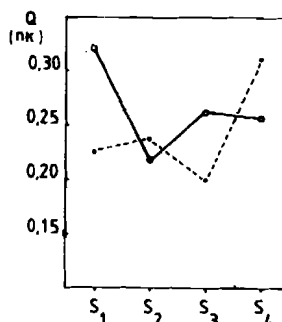


Рис. 8. Результаты моделирования полей в дрейфовом промежутке.



собирания электронов слева и справа от сигнальных проволок возможно при смещении катодных проволок на $\pm 0,75$ мм, как показано на рис. 8б (сх.3). В таблице приводятся значения ширины зон (мм) собирания электронов для $X=115$ мм для трех случаев, описанных выше.

Таблица

| | Cx.1 | Cx.2 | Cx.3 |
|-------|------|------|------|
| S_1 | 13,0 | 8,4 | 10,1 |
| S_2 | 15,2 | 11,3 | 9,8 |
| S_3 | 11,7 | 8,38 | 10,1 |
| S_4 | 16,1 | 10,9 | 10,1 |

В приведенных выше результатах моделирования не учтывалось влияние диполестрипа, состоящего из пяти горизонтальных дрейфовых камер.

Учитывая результаты моделирования полей, мы изводили из всех камерах мюонного спектрометра и мишенией частицы ОИИ на проволоки S_4 потенциал $+0,4$ кВ.

Нооднородности в реонпродолжении полей в дрейфовых ячейках можно оценить по показанию коэффициента K_2 , равному:

$$K_2 = (T_1 - T_2) - (T_3 - T_4) / (T_1 + T_4) = (T_2 + T_3)$$

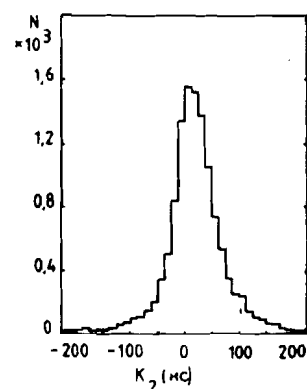


Рис. 9. Распределение величины K_2 .

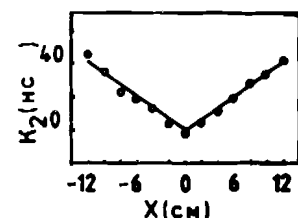


Рис. 10. Зависимость среднего значения коэффициента K_2 от координаты трека в дрейфовом промежутке.

На рис. 9 показано распределение величины K_2 , проинтегрированное по дрейфовому промежутку. Среднее значение K_2 , взятое из рис. 9, составляет 16,9 нс, среднеквадратичное отклонение распределения $\sigma = 56,7$ нс. Неравенство среднего значения K_2 нулю указывает на различие в скоростях дрейфа электронов для разных проволок сигнального элемента. Эта зависимость хорошо видна на рис. 10, на котором показано изменение среднего значения K_2 от координаты трека по дрейфовому промежутку. Разумно предположить, что отличаются скорости дрейфа по проволокам $S_{1,4}$ и $S_{2,3}$. Различие по сумме ($T_1 + T_4$) и ($T_2 + T_3$) составляет 40 нс, что в конце дрейфового промежутка приводит к ошибке в координате, равной 0,8 мм. При восстановлении трека в камере это явление может привести к снижению эффективности регистрации по проволокам $S_{1,4}$. На рис. 11 показаны распределения по эффективности регистрации треков в камерах мюонного спектрометра для проволок $S_{1,4}$ и $S_{2,3}$ при напряжении на сигнальных проволоках $U_s = 1,96$ кВ и пороге срабатывания электроники, равном 1 мил. Видно, что эффективность регистрации по проволокам $S_{1,4}$ несколько хуже, нежели по проволокам $S_{2,3}$.

По распределению величины K_2 можно оценить среднюю точность регистрации координат треков в дрейфовых камерах на уровне $\Delta x \approx 0,2$ см, которая равна $\sigma_x \approx 1$ мм, что является приемлемым для мюонного спектрометра упомянутой.

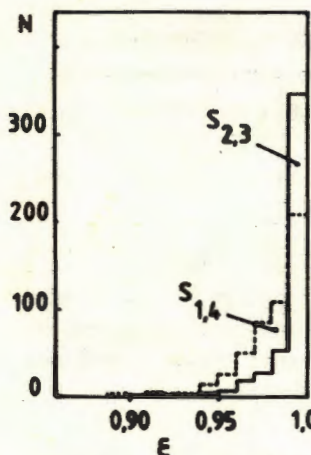


Рис. II. Распределение по эффективности регистрации треков для проволок $S_{1,4}$ и $S_{2,3}$.

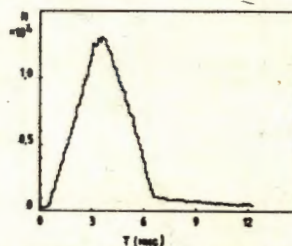


Рис. I2. Временное распределение сигналов с проволок дрейфовых камер мюонного спектрометра и мишениной части ОИЯИ при работе в нейтринном пучке.

В заключение на рис. I2 мы приводим временное распределение сигналов с проволок дрейфовых камер мюонного спектрометра и мишениной части ОИЯИ (~ 3000 каналов) при работе в нейтринном пучке. Начало распределения характеризует суммарный уровень шумов по камера姆, экспоненциальный хвост определяется фоном медленных нейтронов.

Литература

1. Л.С.Барабаш, И.А.Голутвин, Ю.Л.Злобин и др. Материалы У Рабочего совещания по нейтринному детектору ИФВЭ-ОИЯИ, Д1,2, ИЗ-84-332, Дубна, 1984, с. 108.
2. И.А.Голутвин, Н.И.Замятин, А.В.Карпухин, В.С.Хабаров. Препринт ОИЯИ, ИЗ-83-828, Дубна, 1983.
3. В.Н.Виноградов, А.Н.Алеев, Н.А.Баландина и др. Сообщение ОИЯИ, ИЗ-86-530, Дубна, 1986.
4. Л.С.Барабаш, В.В.Чалышев. Авторское свидетельство №II81405, 1985, ОИ № 29, 1987, с. 263.
5. Л.С.Барабаш, А.Г.Карев, Б.Л.Морозов и др. Материалы У Рабочего совещания по нейтринному детектору ИФВЭ-ОИЯИ, Д1,2, ИЗ-84-332, Дубна, 1984, с. II2.
6. Н.Н.Божко и др. Препринт ИФВЭ, 78-22, Серпухов, 1978.

Рукопись поступила в издательский отдел
12 июля 1988 года.

P1-88-516

Барабаш Л.С. и др.
Характеристики дрейфовых камер мюонного спектрометра
установки "Нейтринный детектор"

Приводятся результаты исследований характеристик больших дрейфовых камер установки "Нейтринный детектор", работающей в нейтринном пучке ускорителя У-76 /Серпухов/. Описан импульсный режим питания камер, приводятся сравнительные характеристики камер при питании электродов камер постоянными и импульсными высокими напряжениями. Ширина плато по эффективности регистрации треков в камерах при пороге срабатывания электроники 1 мкА составляет ~ 100 В, точность регистрации треков $\sigma = 1$ мм. Вероятность ошибки в определении левых и правых треков составляет несколько процентов. Приведены результаты моделирования электрических полей в дрейфовой ячейке, рассмотрены условия, позволяющие улучшить однородность зон сорбции электронов на сигнальные проволоки.

Работа выполнена в Общеминистратском научно-методическом отделении ОИЯИ.

Сообщение Объединенного института ядерных исследований. Дубна 1988

Перевод Л.Н.Барабаш

Barabash L.S. et al. P1-88-516
The Characteristics of the Drift Chambers for Muon Spectrometer
of the "Neutrino Detector" SetUp

Results of studies of the characteristics of large drift chambers for the setup "Neutrino detector" operating in a neutrino beam at the Serpukhov accelerator are presented. Pulsed high-voltage supply for the drift chambers is described. Comparative characteristics of the drift chambers are given for constant and pulsed high voltages. The width of the plateau for the detection efficiency of tracks in the chambers is ~ 100 V at an electronics threshold of 1 μ A and the accuracy of detecting the tracks $\sigma = 1$ mm. The left-right ambiguity is a few per cent. Results of calculating the electric fields in a drift cell are presented. The conditions which allow one to improve the uniformity of the zones of electron collection on the sensitive wires are considered.

The investigation has been performed at the Scientifical-Methodical Division, JINR.

Communication of the Joint Institute for Nuclear Research. Dubna 1988